

SPRAWOZDANIE Z POMIARÓW PÓL ELEKTROMAGNETYCZNYCH DLA CELÓW OCHRONY ŚRODOWISKA nr 49/01/OŚ/2021



Obiekt: instalacja radiokomunikacyjna
Nazwa obiektu: BT32329 LUBRZA (ERA)
Adres: dz. nr 78/5, Lubrza

opracowała:
inż. Natalia Drewniak


autoryzował:
mgr inż. Edward Szczepaniuk



Spis treści

- 1. Prowadzący Instalację**
- 2. Zleceniodawca**
- 3. Metoda Pomiarowa**
- 4. Lokalizacja Obiektu**
- 5. Opis pomiarów**
- 6. Źródła PEM**
- 7. Wyniki pomiarów dla celów ochrony środowiska**
- 8. Stwierdzenie zgodności wyników**
- 9. Podstawa prawna**
- 10. Załączniki**

1. Prowadzący Instalację

Polkomtel Infrastruktura Sp. z o.o., ul. Konstruktorska 4, 02-673 Warszawa

2. Zleceniodawca

WASKO Spółka Akcyjna, ul. Berbeckiego 6, 44-100 Gliwice

3. Metoda Pomiarowa

Pkt. 25 ppkt. 1 załącznika do Rozporządzenia Ministra Klimatu z dnia 17 lutego 2020r. w sprawie sposobów sprawdzania dopuszczalnych poziomów pól elektromagnetycznych w środowisku.

4. Lokalizacja Obiektu

adres badanego obiektu: dz. nr 78/5, Lubrza
gmina: Lubrza
powiat: świebodziński
województwo: lubuskie

5. Opis pomiarów

Cel badań:

określenie poziomów pól elektromagnetycznych w środowisku.

data wykonania:

2021-02-22

pomiary wykonał:

Sebastian Górka

warunki metrologiczne:

| | |
|-----------------|-------------|
| | zewnętrzne |
| Temp. [°] | 3,1 - 6,5 |
| Wilgotność [%]: | 65,4 - 74,2 |
| Opady: | BRAK |

opis zestawu pomiarowego:

miernik:

Uniwersalny, szerokopasmowy miernik natężenia pola elektromagnetycznego typu EMR-200 nr seryjny AS-0186. Świadectwo wzorcowania nr LWiMP/W/031/18 z dnia 28 lutego 2018r., wydane przez Laboratorium Wzorców i Metrologii Pola Elektromagnetycznego Politechnika Wrocławska.

sonda pola elektrycznego:

11.C. nr seryjny L-0018 pracującą w paśmie 27MHz – 90GHz o zakresie pomiarowym od 0,5 V/m do 250 V/m. Świadectwo wzorcowania nr LWiMP/W/031/18 z dnia 28 lutego 2018r., wydane przez Laboratorium Wzorców i Metrologii Pola Elektromagnetycznego Politechnika Wrocławska.

urządzenia pomocnicze:

Termohigrometr AZ 8703 nr seryjny 96186813. Świadectwo wzorcowania nr 1184/AH/18 z dnia 12 czerwca 2018r, wydane przez Laboratorium Pomiarowe „MUTECH”.

Współrzędne geograficzne pionów pomiarowych są wyznaczane za pomocą aplikacji GPS COORDINATES.

Pomiary przeprowadzono:

- na głównych i pomocniczych kierunkach pomiarowych, na kierunkach zbliżonych do azymutów anten oraz w dodatkowych pionach pomiarowych zgodnie z wymaganiami pkt 12, 13, 14 i 19 załącznika do rozporządzenia Ministra Klimatu z dnia 17 lutego 2020 r. (Dz. U. 2020, poz. 258)
- w temperaturze i wilgotności zgodnych ze specyfikacją miernika zgodnie z wymaganiami pkt 4 załącznika do rozporządzenia Ministra Klimatu z dnia 17 lutego 2020 r. (Dz. U. 2020, poz. 258).
- dla średnich tiltów, wyznaczonych zgodnie z wymaganiami pkt 13 ppkt 2 załącznika do rozporządzenia Ministra Klimatu z dnia 17 lutego 2020 r. (Dz. U. 2020, poz. 258).
- na obszarze pomiarowym, dla którego, na podstawie uprzednio wykonanych obliczeń uzyskanych od zleceniodawcy, stwierdzono możliwość występowania pól elektromagnetycznych o poziomach zbliżonych do poziomów dopuszczalnych zgodnie z wymaganiami pkt 5 ppkt 2 oraz pkt 13 ppkt 1 załącznika do rozporządzenia Ministra Klimatu z dnia 17 lutego 2020 r. (Dz. U. 2020, poz. 258).
- podczas pracy wszystkich instalacji emitujących pola elektromagnetyczne w danym zakresie częstotliwości zgodnie z wymaganiami pkt 10 załącznika do rozporządzenia Ministra Klimatu z dnia 17 lutego 2020 r. (Dz. U. 2020, poz. 258).
- do odległości wyznaczonej zgodnie z wymaganiami pkt 13 ppkt 1 załącznika do rozporządzenia Ministra Klimatu z dnia 17 lutego 2020 r. (Dz. U. 2020, poz. 258).

Poziomy pól w środowisku zostały wyznaczone zgodnie z wymaganiami pkt 9 załącznika do rozporządzenia Ministra Klimatu z dnia 17 lutego 2020 r. (Dz. U. 2020, poz. 258).

6. Źródła PEM

Tabela 1. Anteny sektorowe – dane uzyskane od zleceniodawcy

| Typ anteny | Azymut [°] | Pasmo częstotliwości | Wysokość zawieszenia anten (środek anteny) n.p.t. [m] | Deklarowane pochylenie elektryczne [°] | Deklarowane pochylenie mechaniczne [°] | EIRP [W] |
|--------------|------------|----------------------|---|--|--|----------|
| 80010123V03 | 80 | 900 | 38,6 | 0,5-7 | 0 | 5667 |
| ADU4518R8V06 | 180 | 900/1800 | 38,6 | 0-7,5/2-7,5 | 0 | 8741 |
| 80010123V03 | 290 | 900 | 38,6 | 0,5-7 | 0 | 5667 |

Tabela 2. Anteny radioliniowe – dane uzyskane od zleceniodawcy

| Typ anteny | Azymut [°] | Pasmo częstotliwości [GHz] | Wysokość zawieszenia anten (środek anteny) n.p.t. [m] | Moc wyjściowa nadajnika [dBm] | Zysk energetyczny [dBi] | EIRP [W] |
|-----------------|------------|----------------------------|---|-------------------------------|-------------------------|----------|
| UKY 220 73/SC15 | 270 | 38 | 35,0 | 16 | 40,4 | 436,5 |

Inne źródła PEM: T-Mobile

7. Wyniki pomiarów dla celów ochrony środowiska

Pomiary zostały wykonane przy tym rodzaju pracy, przy którym występują pola elektromagnetyczne o najwyższym poziomie. Piony pomiarowe zostały przedstawione na rys. 2.

Niepewność rozszerzona pomiaru składowej elektrycznej wynosi 59,6% przy poziomie ufności 95% i współczynnika rozszerzenia $k=2$.

Wyniki pomiarów pól elektromagnetycznych dla celów ochrony środowiska przedstawia tabela poniżej.

Tabela 3. Zestawienie wyników

| nr pionu | Pole E | Pole H | q | E*q+U | H*q+U | Wys. Pomiaru | Współrzędne geograficzne | WME | WMH | Opis pionu pomiarowego |
|----------|--------|--------|------|-------|--------|--------------|--------------------------------|-------|-------|-------------------------------------|
| Lp. | [V/m] | [A/m] | - | [V/m] | [A/m] | | | - | - | - |
| 1 | p.cz.* | <0,001 | 2,00 | <1,3 | <0,003 | 2,0 | 52°19'7.11"N 15°26'29.57"E | <0,03 | <0,03 | otoczenie instalacji – az. 80° GKP |
| 2 | p.cz.* | <0,001 | 2,00 | <1,3 | <0,003 | 2,0 | 52°19'7.16"N 15°26'35.5"E | <0,03 | <0,03 | otoczenie instalacji – az. 80° GKP |
| 3 | p.cz.* | <0,001 | 2,00 | <1,3 | <0,003 | 2,0 | 52°19'8.4"N 15°26'39.30"E | <0,03 | <0,03 | otoczenie instalacji – az. 80° GKP |
| 4 | p.cz.* | <0,001 | 2,00 | <1,3 | <0,003 | 2,0 | 52°19'8.50"N 15°26'44.36"E | <0,03 | <0,03 | otoczenie instalacji – az. 80° GKP |
| 5 | p.cz.* | <0,001 | 2,00 | <1,3 | <0,003 | 2,0 | 52°19'9.23"N 15°26'47.39"E | <0,03 | <0,03 | otoczenie instalacji – az. 80° GKP |
| 6 | p.cz.* | <0,001 | 2,00 | <1,3 | <0,003 | 2,0 | 52°19'10.5"N 15°26'44.27"E | <0,03 | <0,03 | otoczenie instalacji – PKP |
| 7 | p.cz.* | <0,001 | 2,00 | <1,3 | <0,003 | 2,0 | 52°19'6.23"N 15°26'44.35"E | <0,03 | <0,03 | otoczenie instalacji – PKP |
| 8 | p.cz.* | <0,001 | 2,00 | <1,3 | <0,003 | 2,0 | 52°19'10.2"N 15°26'36.29"E | <0,03 | <0,03 | otoczenie instalacji – PKP |
| 9 | p.cz.* | <0,001 | 2,00 | <1,3 | <0,003 | 2,0 | 52°19'6.5"N 15°26'37.10"E | <0,03 | <0,03 | otoczenie instalacji – PKP |
| 10 | p.cz.* | <0,001 | 2,00 | <1,3 | <0,003 | 2,0 | 52°19'9.18"N 15°26'29.59"E | <0,03 | <0,03 | otoczenie instalacji – PKP |
| 11 | p.cz.* | <0,001 | 2,00 | <1,3 | <0,003 | 2,0 | 52°19'3.23"N 15°26'35.44"E | <0,03 | <0,03 | otoczenie instalacji – PKP |
| 12 | p.cz.* | <0,001 | 2,00 | <1,3 | <0,003 | 2,0 | 52°19'4.53"N 15°26'31.11"E | <0,03 | <0,03 | otoczenie instalacji – PKP |
| 13 | 1,4 | 0,004 | 2,00 | 3,6 | 0,010 | 2,0 | 52°19'5.34"N 15°26'27.40"E | 0,09 | 0,09 | otoczenie instalacji – az. 180° GKP |
| 14 | 1,4 | 0,004 | 2,00 | 3,6 | 0,010 | 2,0 | 52°19'3.1"N 15°26'27.40"E | 0,09 | 0,09 | otoczenie instalacji – az. 180° GKP |
| 15 | 1,2 | 0,003 | 2,00 | 3,1 | 0,008 | 2,0 | 52°19'1.58"N 15°26'27.40"E | 0,08 | 0,07 | otoczenie instalacji – az. 180° GKP |
| 16 | p.cz.* | <0,001 | 2,00 | <1,3 | <0,003 | 2,0 | 52°18'58.40"N 15°26'27.40"E | <0,03 | <0,03 | otoczenie instalacji – az. 180° GKP |
| 17 | p.cz.* | <0,001 | 2,00 | <1,3 | <0,003 | 2,0 | 52°18'55.5"N 15°26'27.40"E | <0,03 | <0,03 | otoczenie instalacji – az. 180° GKP |
| 18 | p.cz.* | <0,001 | 2,00 | <1,3 | <0,003 | 2,0 | 52°18'57.33"N 15°26'29.57"E | <0,03 | <0,03 | otoczenie instalacji – PKP |
| 19 | p.cz.* | <0,001 | 2,00 | <1,3 | <0,003 | 2,0 | 52°18'57.31"N 15°26'24.16"E | <0,03 | <0,03 | otoczenie instalacji – PKP |
| 20 | p.cz.* | <0,001 | 2,00 | <1,3 | <0,003 | 2,0 | 52°18'59.35"N 15°26'23.21"E | <0,03 | <0,03 | otoczenie instalacji – PKP |
| 21 | p.cz.* | <0,001 | 2,00 | <1,3 | <0,003 | 2,0 | 52°19'1.13"N 15°26'32.44"E | <0,03 | <0,03 | otoczenie instalacji – PKP |
| 22 | p.cz.* | <0,001 | 2,00 | <1,3 | <0,003 | 2,0 | 52°19'3.7"N 15°26'23.22"E | <0,03 | <0,03 | otoczenie instalacji – PKP |
| 23 | 1,1 | 0,003 | 2,00 | 2,9 | 0,008 | 2,0 | 52°19'5.12"N 15°26'23.52"E | 0,07 | 0,07 | otoczenie instalacji – PKP |
| 24 | p.cz.* | <0,001 | 2,00 | <1,3 | <0,003 | 2,0 | 52°19'6.39"N 15°26'16.1"E | <0,03 | <0,03 | otoczenie instalacji – az. 270° GKP |
| 25 | p.cz.* | <0,001 | 2,00 | <1,3 | <0,003 | 2,0 | 52°19'7.23"N 15°26'25.43"E | <0,03 | <0,03 | otoczenie instalacji – az. 290° GKP |
| 26 | p.cz.* | <0,001 | 2,00 | <1,3 | <0,003 | 2,0 | 52°19'8.39"N 15°26'22.29"E | <0,03 | <0,03 | otoczenie instalacji – az. 290° GKP |
| 27 | p.cz.* | <0,001 | 2,00 | <1,3 | <0,003 | 2,0 | 52°19'9.31"N 15°26'17.2"E | <0,03 | <0,03 | otoczenie instalacji – az. 290° GKP |

| nr pionu | Pole E | Pole H | q | E*q+U | H*q+U | Wys. Pomiaru | Współrzędne geograficzne | WME | WMH | Opis pionu pomiarowego |
|----------|--------|--------|------|-------|--------|--------------|--------------------------------|-------|-------|-------------------------------------|
| Lp. | [V/m] | [A/m] | - | [V/m] | [A/m] | | | - | - | - |
| 28 | p.cz.* | <0,001 | 2,00 | <1,3 | <0,003 | 2,0 | 52°19'10.16"N 15°26'12.13"E | <0,03 | <0,03 | otoczenie instalacji – az. 290° GKP |
| 29 | p.cz.* | <0,001 | 2,00 | <1,3 | <0,003 | 2,0 | 52°19'11.48"N 15°26'8.20"E | <0,03 | <0,03 | otoczenie instalacji – az. 290° GKP |
| 30 | p.cz.* | <0,001 | 2,00 | <1,3 | <0,003 | 2,0 | 52°19'12.38"N 15°26'12.1"E | <0,03 | <0,03 | otoczenie instalacji – PKP |
| 31 | p.cz.* | <0,001 | 2,00 | <1,3 | <0,003 | 2,0 | 52°19'8.21"N 15°26'11.5"E | <0,03 | <0,03 | otoczenie instalacji – PKP |
| 32 | p.cz.* | <0,001 | 2,00 | <1,3 | <0,003 | 2,0 | 52°19'12.46"N 15°26'18.5"E | <0,03 | <0,03 | otoczenie instalacji – PKP |
| 33 | p.cz.* | <0,001 | 2,00 | <1,3 | <0,003 | 2,0 | 52°19'11.11"N 15°26'25.52"E | <0,03 | <0,03 | otoczenie instalacji – PKP |
| 34 | p.cz.* | <0,001 | 2,00 | <1,3 | <0,003 | 2,0 | 52°19'8.24"N 15°26'26.46"E | <0,03 | <0,03 | otoczenie instalacji – PKP |

* poniżej czułości zestawu pomiarowego (poniżej 0,5 V/m)

GKP – główny kierunek pomiarowy

PKP – pomocniczy kierunek pomiarowy

q – poprawka pomiarowa podana przez operatora (w przypadku oddziaływania innych instalacji radiokomunikacyjnych na badany obszar q=2,0)

WME - wartość wskaźnikowa poziomu emisji pól elektromagnetycznych dla miejsc dostępnych dla ludności dla składowej elektrycznej pola

WMH - wartość wskaźnikowa poziomu emisji pól elektromagnetycznych dla miejsc dostępnych dla ludności dla składowej magnetycznej pola

8. Stwierdzenie zgodności wyników

Rozporządzenie Ministra Zdrowia z dnia 7 grudnia 2019r. w sprawie dopuszczalnych poziomów pól elektromagnetycznych w środowisku, określa wartości dopuszczalne, które zostały przedstawione w tabeli poniżej.

| Parametr fizyczny | | Składowa elektryczna E [V/m] | Składowa magnetyczna H [A/m] | Gęstość mocy S [W/m ²] |
|---|------------------------|------------------------------------|------------------------------------|--|
| Zakres Częstotliwości Pola elektromagnetycznego | | | | |
| lp. | 1 | 2 | 3 | 4 |
| 1 | 0 Hz | 10000 | 2500 | ND |
| 2 | od 0 Hz do 0,5 Hz | ND | 2500 | ND |
| 3 | od 0,5 Hz do 50 Hz | 10000 | 60 | ND |
| 4 | od 0,05 kHz do 1 kHz | ND | 3/f | ND |
| 5 | od 1 kHz do 3 kHz | 250/f | 5 | ND |
| 6 | od 3 kHz do 150 kHz | 87 | 5 | ND |
| 7 | od 0,15 MHz do 1 MHz | 87 | 0,73/f | ND |
| 8 | od 1 MHz do 10 MHz | 87/ f ^{0,5} | 0,73/f | ND |
| 9 | od 10 MHz do 400 MHz | 28 | 0,073 | 2 |
| 10 | od 400 MHz do 2000 MHz | 1,375 x f ^{0,5} | 0,0037 x f ^{0,5} | f/200 |
| 11 | od 2 GHz do 300 GHz | 61 | 0,16 | 10 |

Pomiar był zrealizowany poprzez określenie maksymalnej wartości chwilowej zgodnie z punktem 11 załącznika do Rozporządzenia Ministra Klimatu z dnia 17 lutego 2020r. w sprawie sposobów sprawdzania dopuszczalnych poziomów pól elektromagnetycznych w środowisku.

Zgodnie z punktem 26 załącznika do Rozporządzenia Ministra Klimatu z dnia 17 lutego 2020r. w sprawie sposobów sprawdzania dopuszczalnych poziomów pól elektromagnetycznych w środowisku dopuszczalne poziomy pole elektromagnetycznych w środowisku, określone w przepisach wydanych na podstawie art. 122 ust. 1 ustawy z dnia 27 kwietnia 2001 r. – Prawo ochrony środowiska, uznaje się za dotrzymane w obszarze pomiarowym, w którym w wyniku zastosowania sposobu sprawdzenia dotrzymania dopuszczalnych poziomów pól elektromagnetycznych w środowisku, o którym mowa w pkt 25, udokumentowano, że żadna z wartości wskaźnikowych nie przekracza wartości 1.

Na podstawie przeprowadzonych pomiarów pola elektromagnetycznego z dnia: 22-02-2021r. stwierdza się, iż w otoczeniu badanego obiektu nie występuje natężenie pola elektrycznego przekraczające wartość graniczną dopuszczalną dla miejsc dostępnych dla ludności. Jednocześnie, na podstawie obliczonych wskaźników poziomu emisji ocenia się, iż dopuszczalne poziomy pole elektromagnetycznych zostały dotrzymane.

OŚWIADCZENIE

Wyniki badania odnoszą się wyłącznie do badanego obiektu

Bez pisemnej zgody sprawozdanie nie może być powielane inaczej jak tylko w całości.

W ciągu 14 dni od daty otrzymania sprawozdania przyjmowane są uwagi i zastrzeżenia w formie pisemnej na adres Laboratorium Badawczego.

Sprawozdanie sporządzono: Kowale, 23-02-2021r.

9. Podstawa prawna

Rozporządzenie Ministra Zdrowia z dnia 17 grudnia 2019 r. w sprawie dopuszczalnych poziomów pól elektromagnetycznych w środowisku (Dz.U. 2019 poz. 2448)

Rozporządzeniem Ministra Klimatu z dnia 17 lutego 2020 r. w sprawie sposobów sprawdzania dotrzymania dopuszczalnych poziomów pól elektromagnetycznych w środowisku (Dz.U. 2020 poz. 258)

Ustawa z dnia 16 kwietnia 2020 r. o szczególnych instrumentach wsparcia w związku z rozprzestrzenieniem się wirusa SARS-CoV-2 (Dz.U. 2020 poz. 695)

10. Załączniki

Rys. 1 – Lokalizacja obiektu

Rys. 2 – Lokalizacja pionów pomiarowych

Rys. 3 – Widok badanego obiektu

KONIEC SPRAWOZDANIA

zatwierdził:

mgr inż. Edward Szczepaniuk

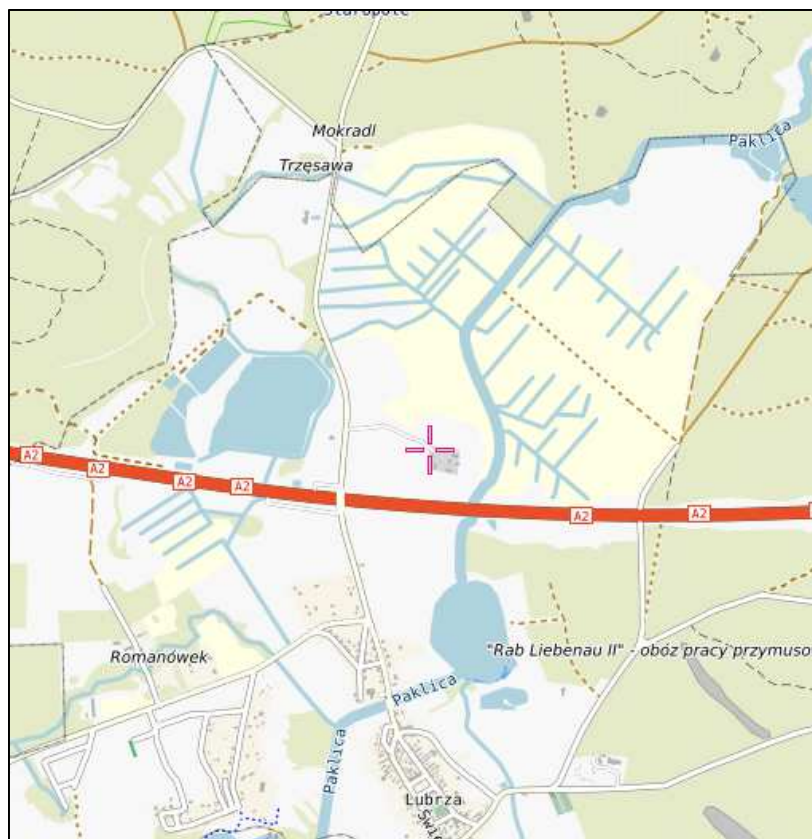


opracowała:

inż. Natalia Drewniak

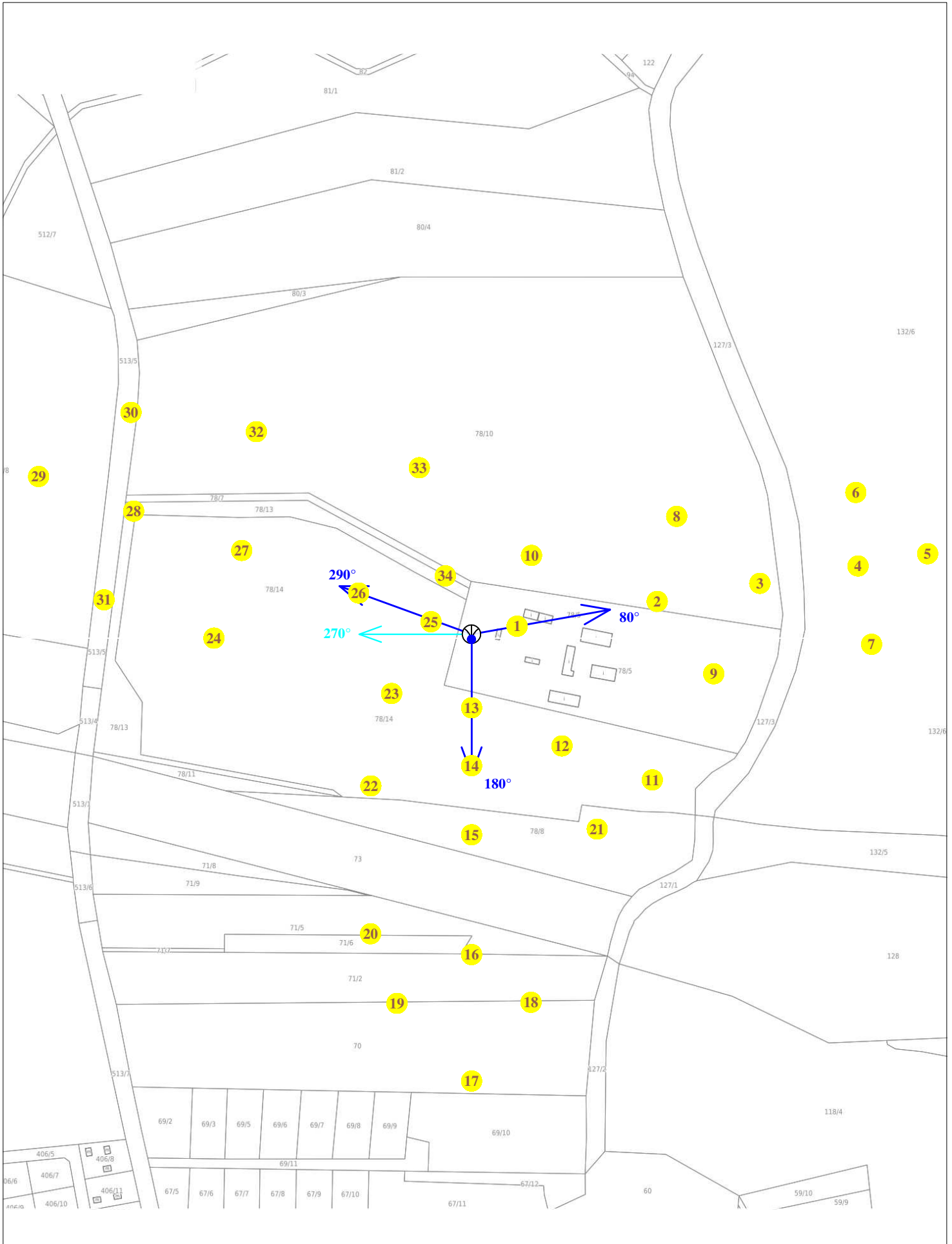


Rys. 1 Lokalizacja badanego obiektu



| Współrzędne geograficzne | |
|--------------------------|---------------|
| N | 52° 19' 07,1" |
| E | 15° 26' 27,4" |

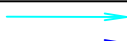
Rys. 2 Lokalizacja pionów pomiarowych



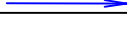
Legenda:



brak dostępu



antena radiolinowa



antena sektorowa



źródło PEM



pion pomiarowy

skala 1:4000

Rys. 3 Widok badanego obiektu

